

Fig. 1A PRIOR ART

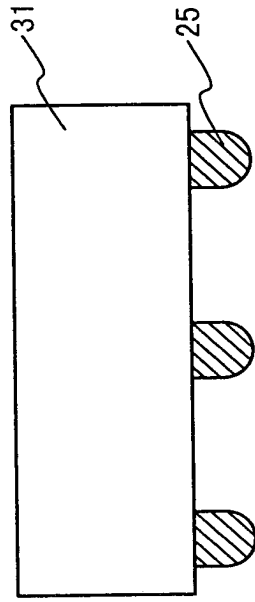
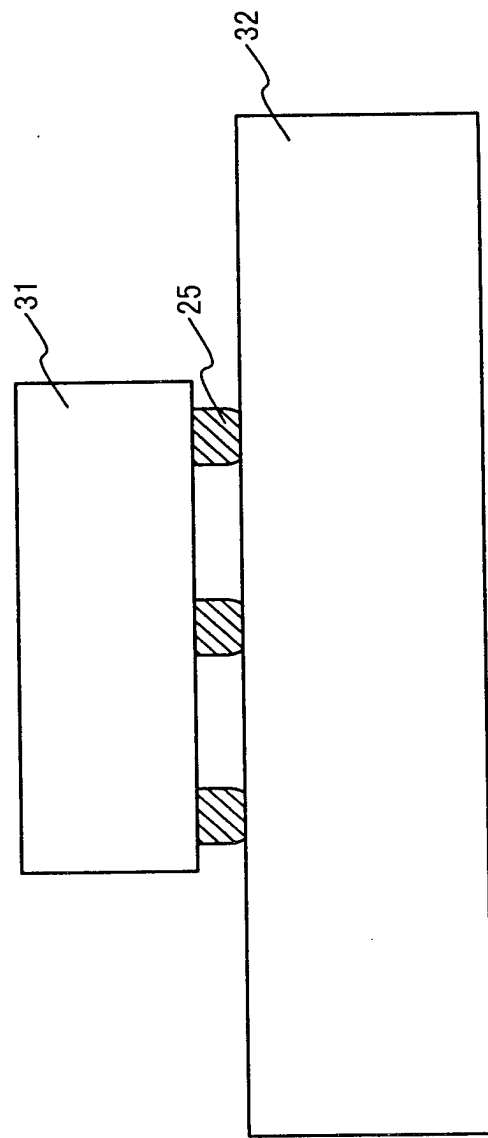


Fig. 1B PRIOR ART



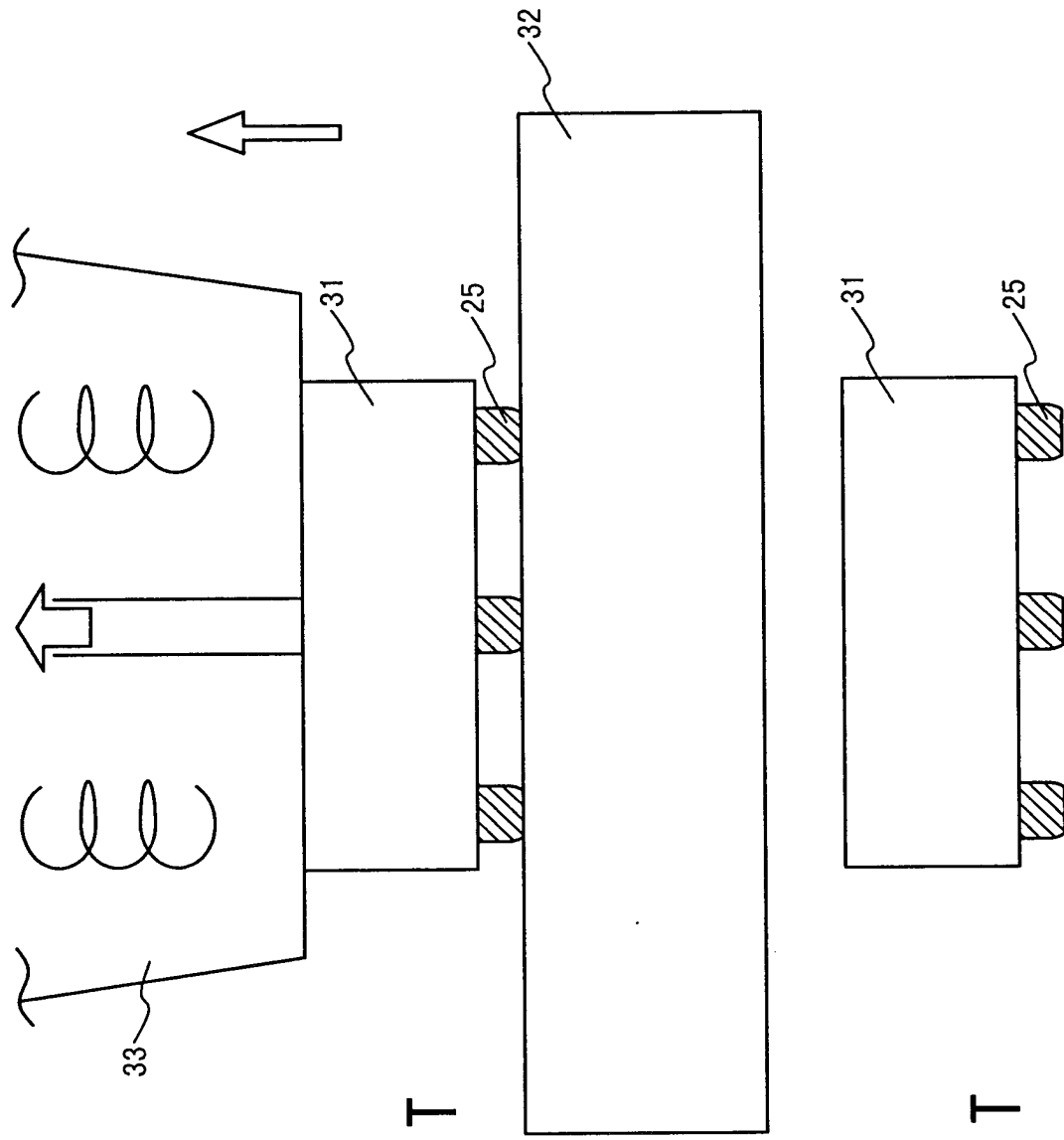


Fig. 1C  
PRIOR ART

Fig. 1D  
PRIOR ART

Fig. 2A

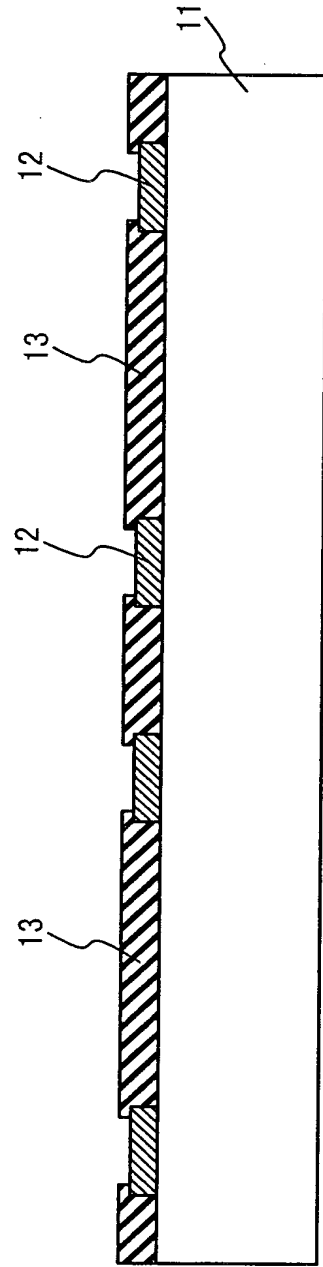


Fig. 2B

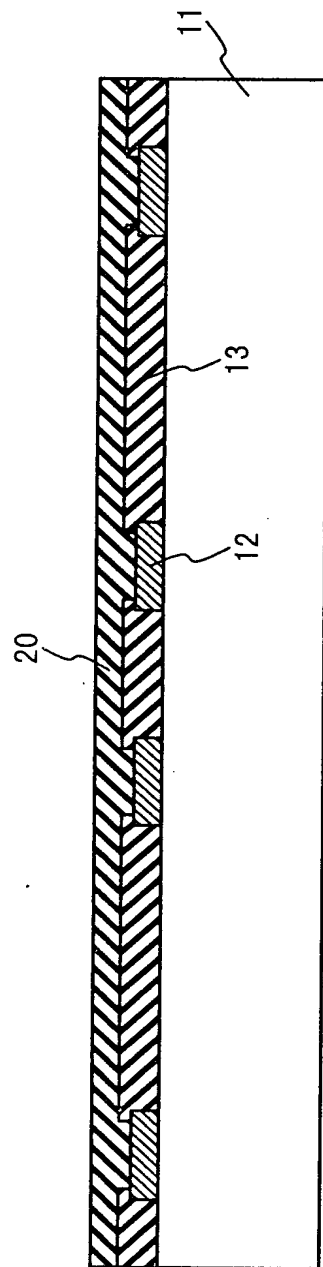


Fig. 2C

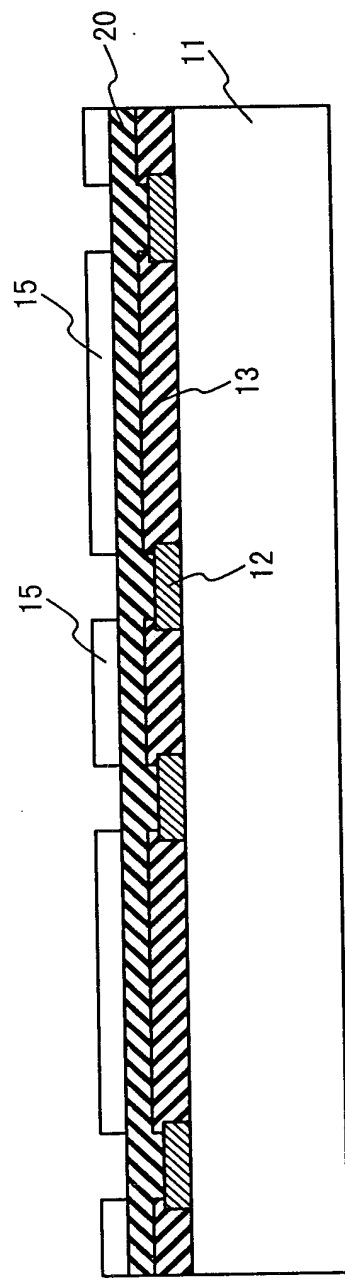


Fig. 2D

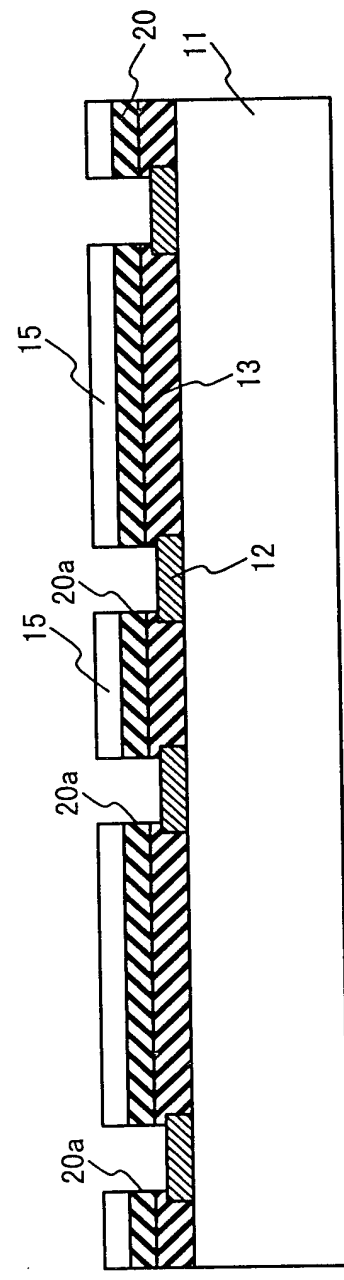


Fig. 2E

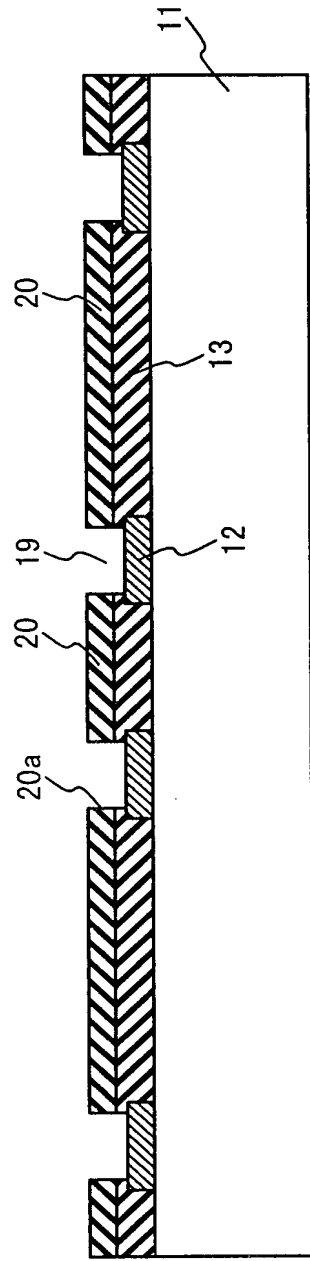


Fig. 2F

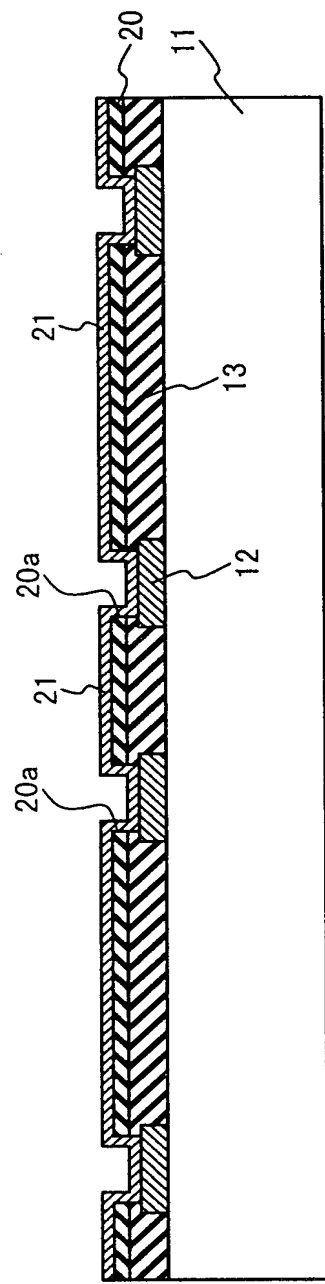


Fig. 2G

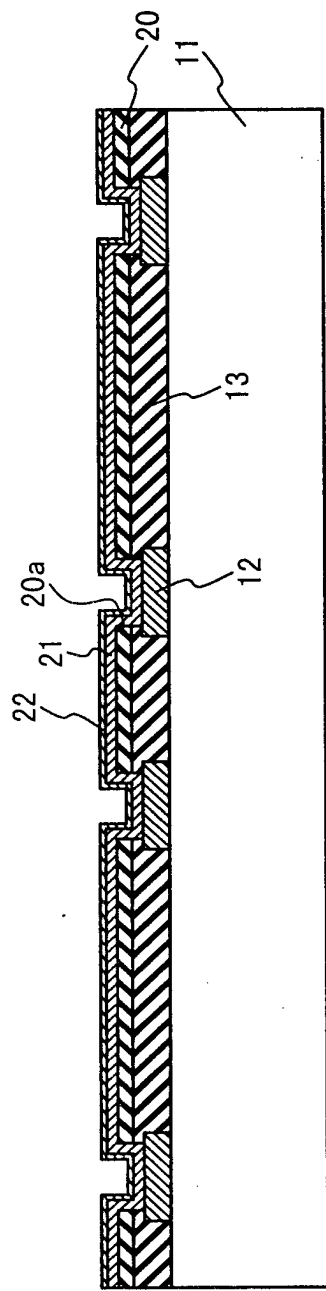


Fig. 2H

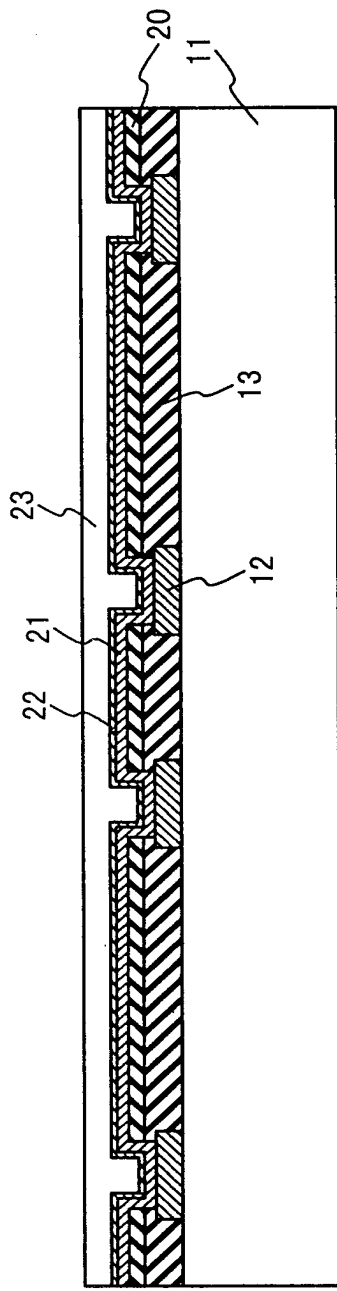


Fig. 2 |

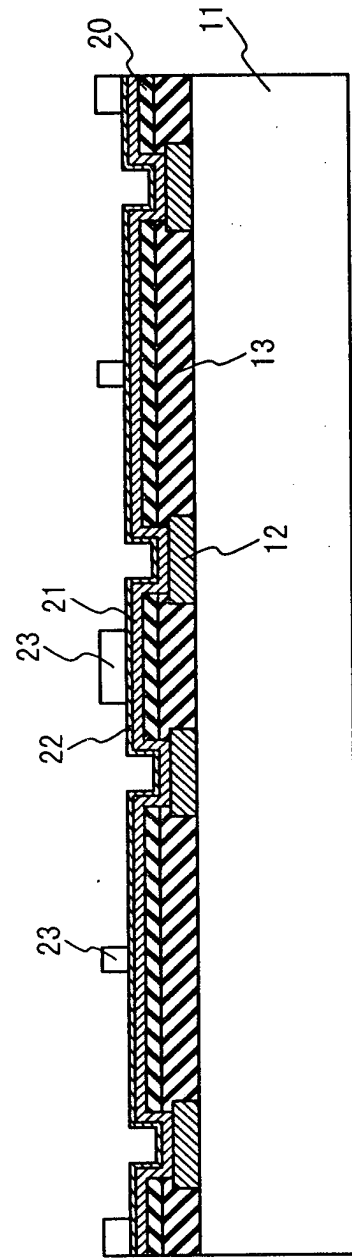


Fig. 2 J

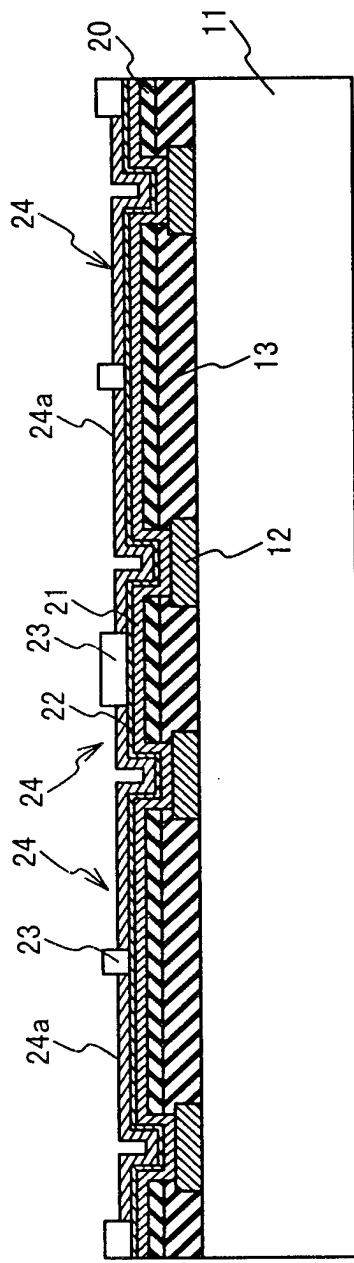


Fig. 2K

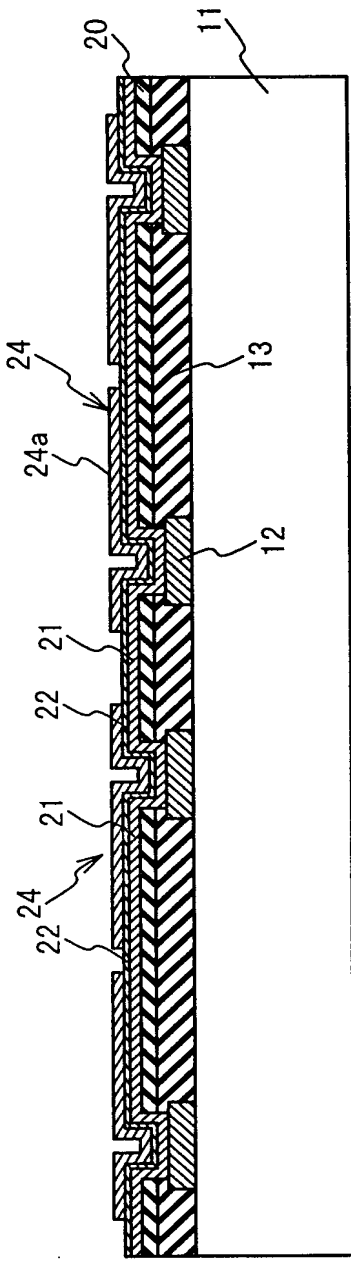
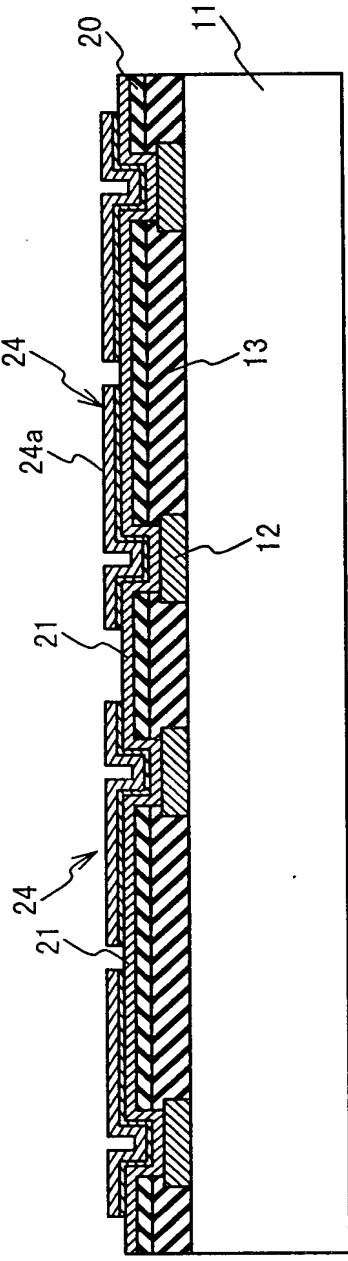


Fig. 2L



F i . 2 M

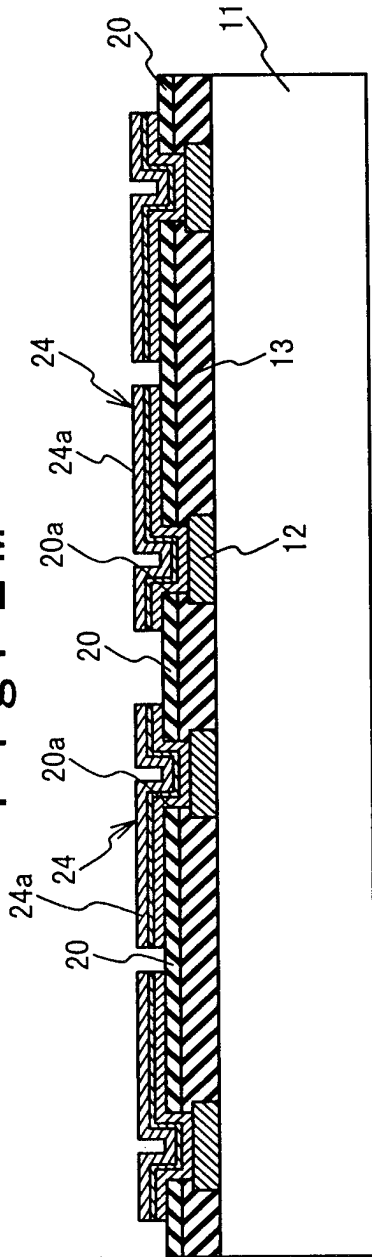


Fig. 2 N

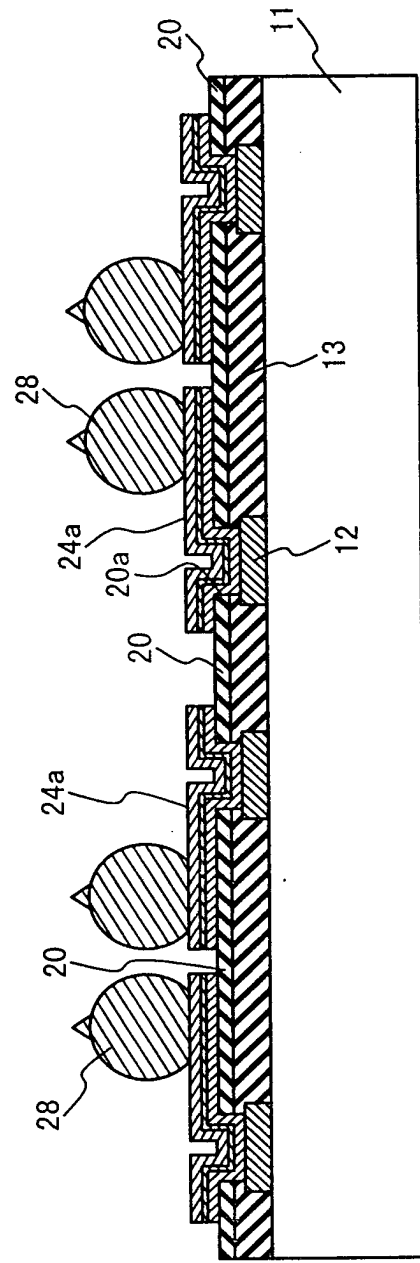


Fig. 20

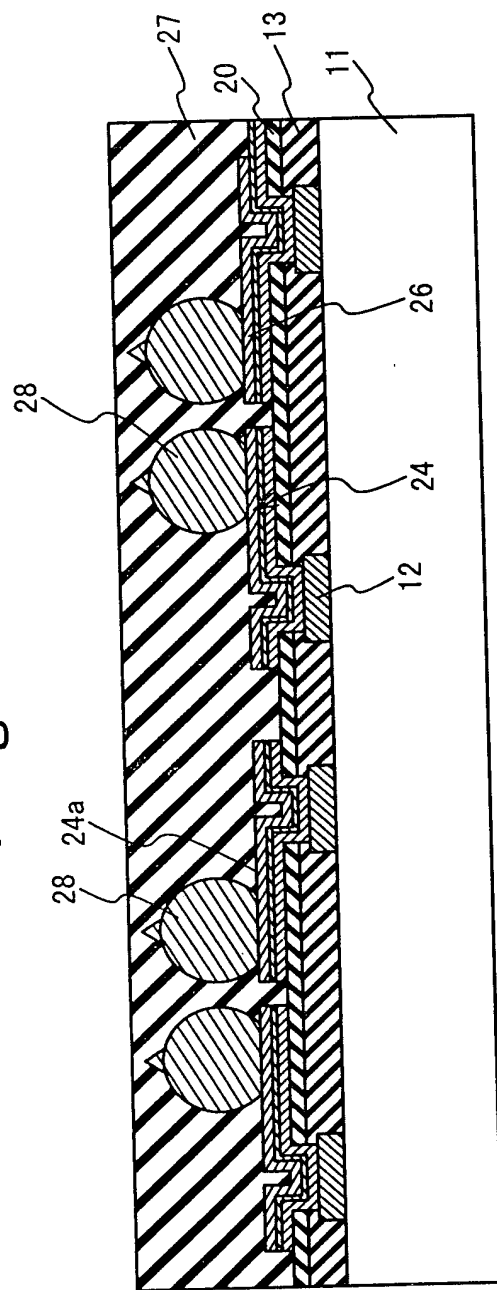


Fig. 2P

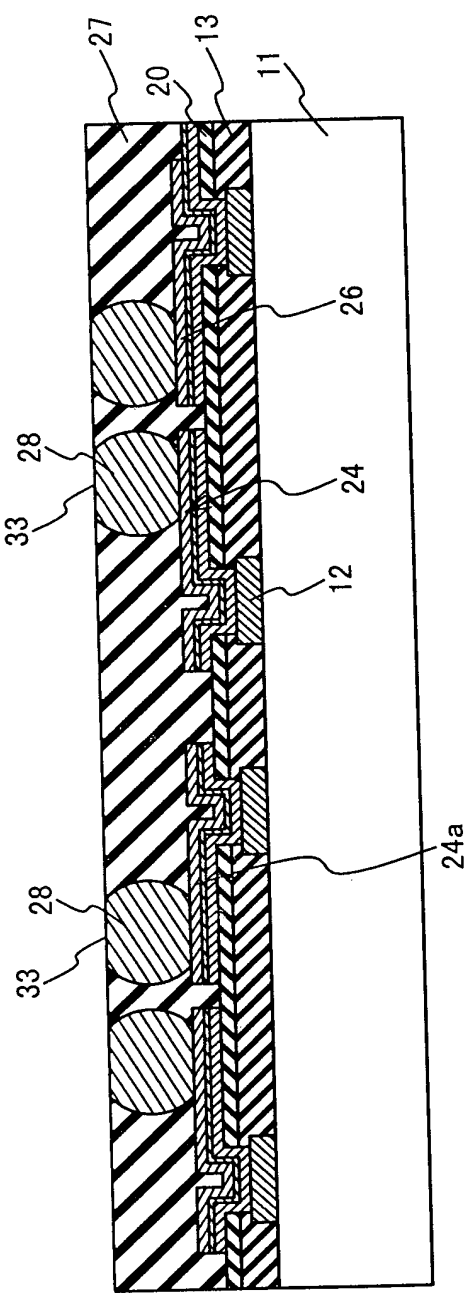


Fig. 2Q

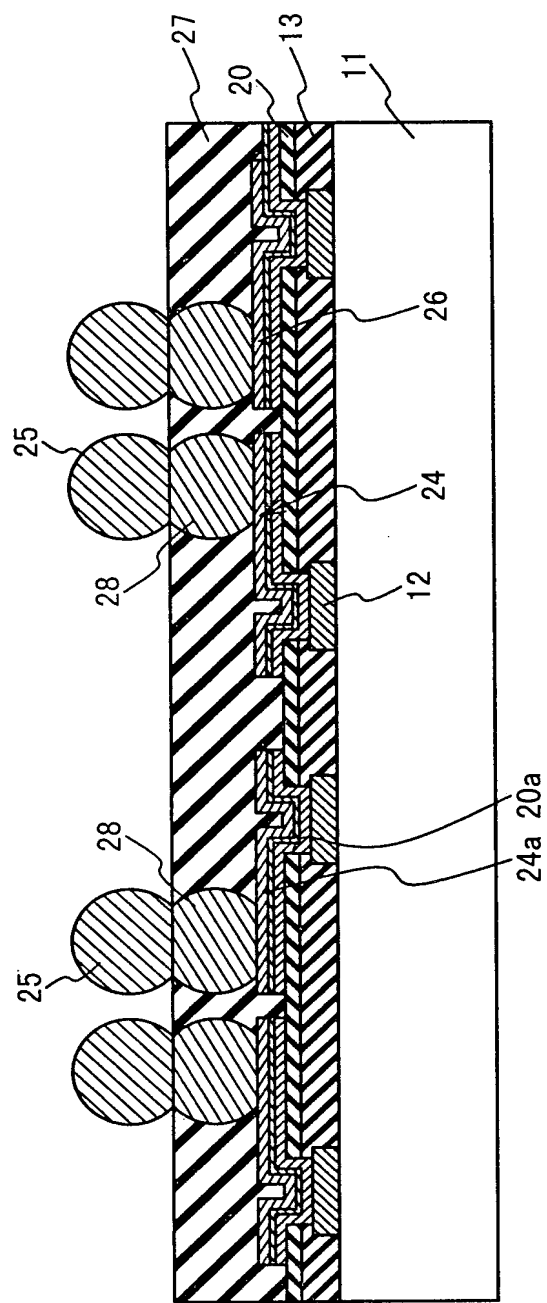


Fig. 2R

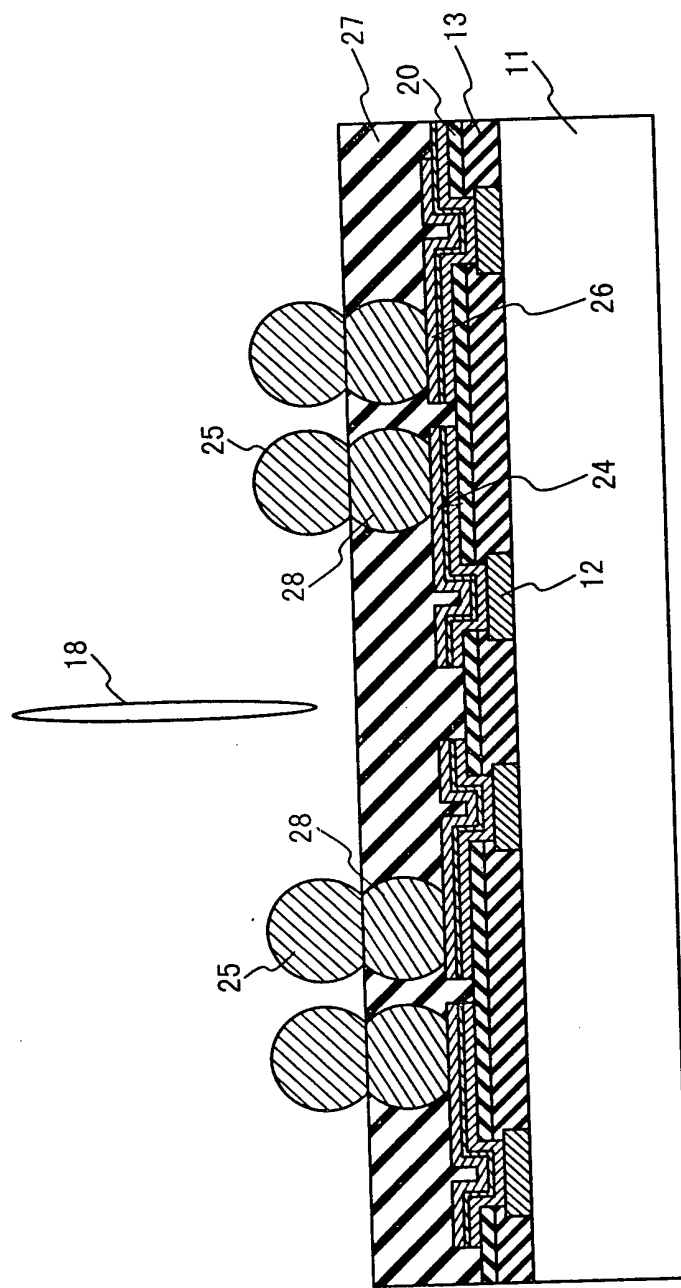


Fig. 2S

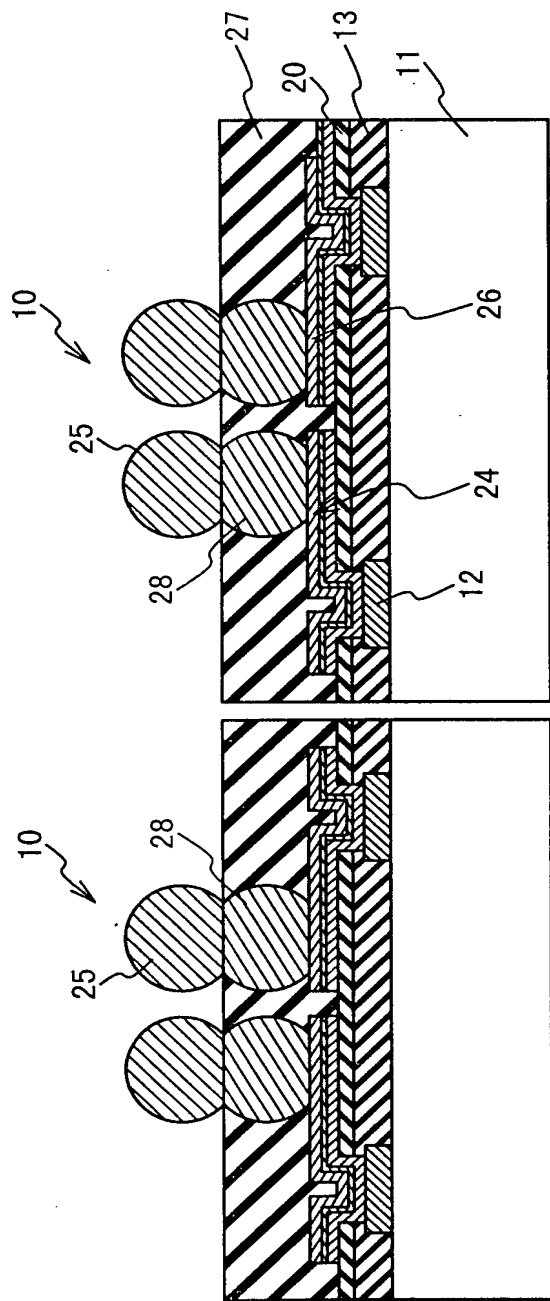


Fig. 3A

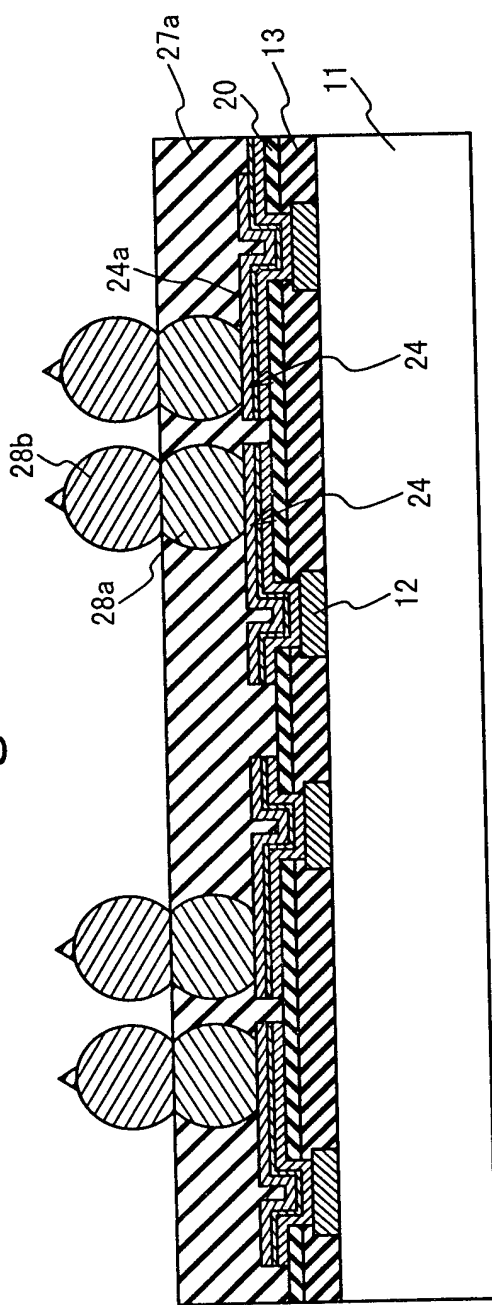


Fig. 3B

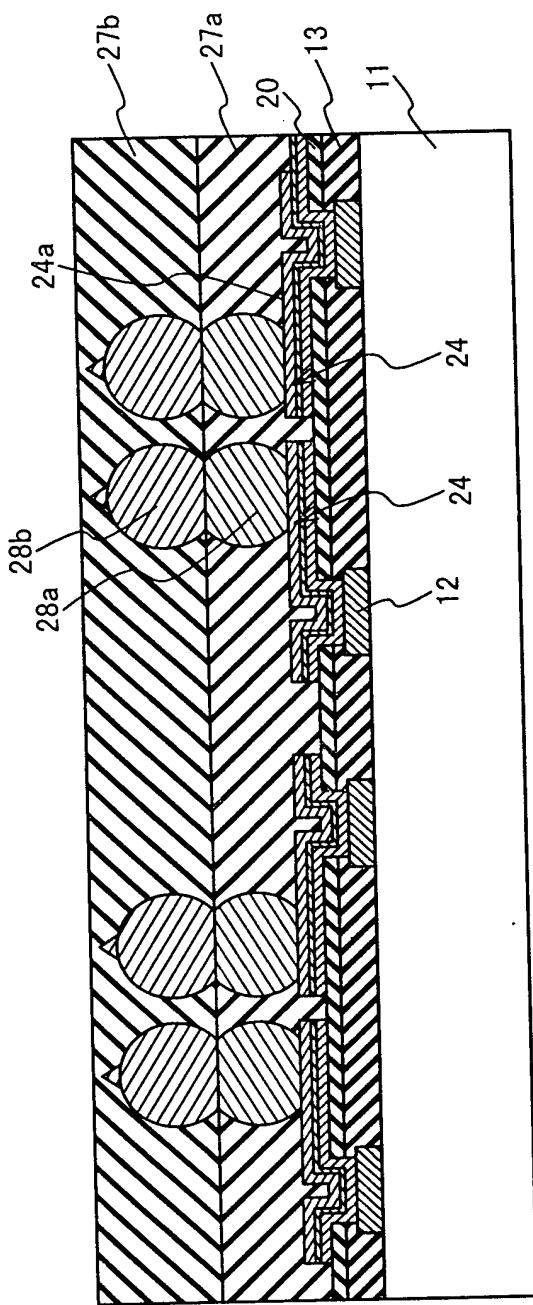


Fig. 3C

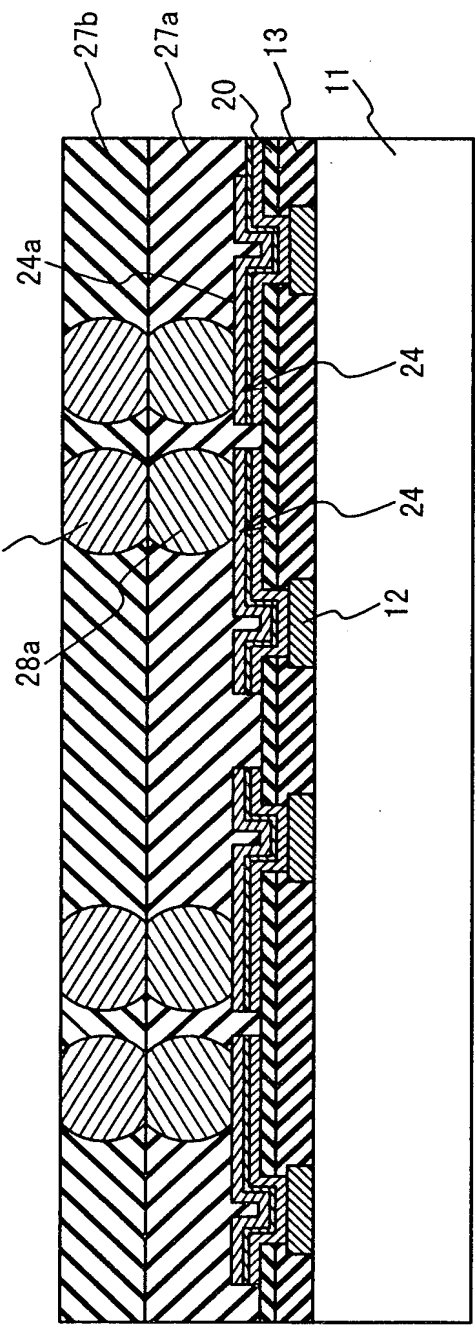


Fig. 3D

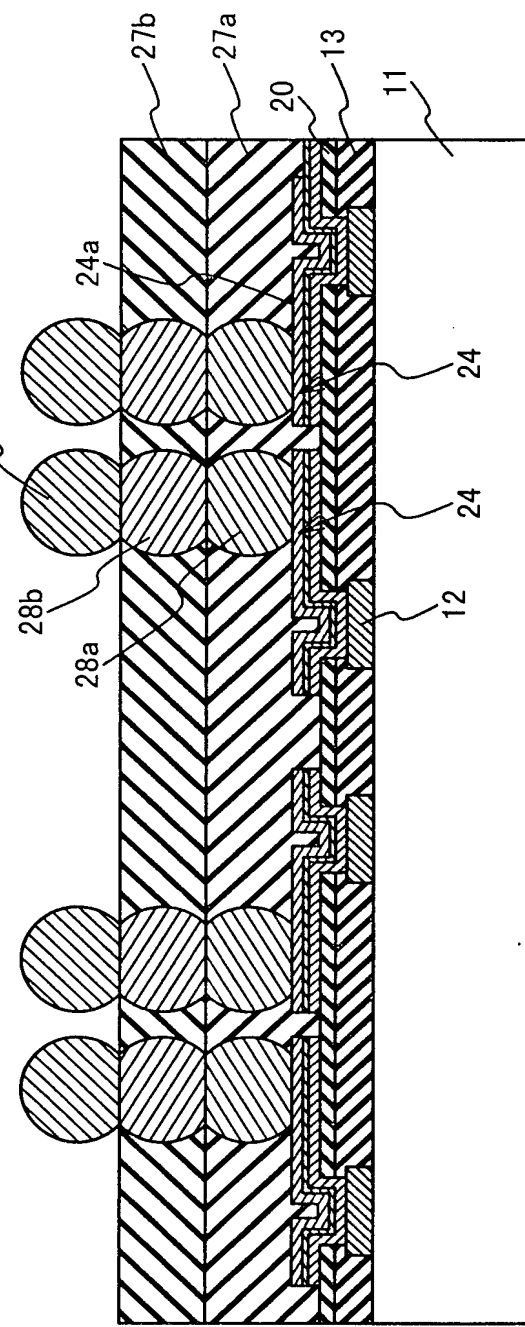
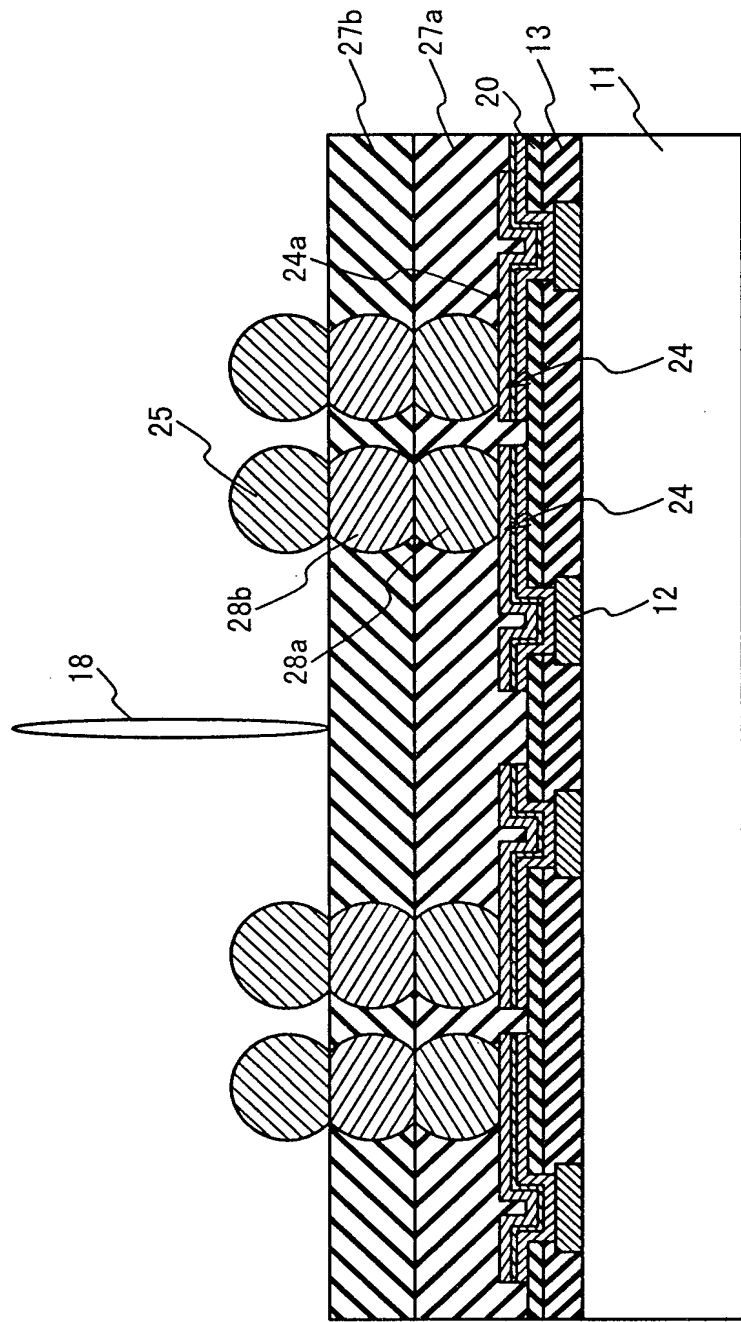


Fig. 3E



2023年6月25日00T

Fig. 3F

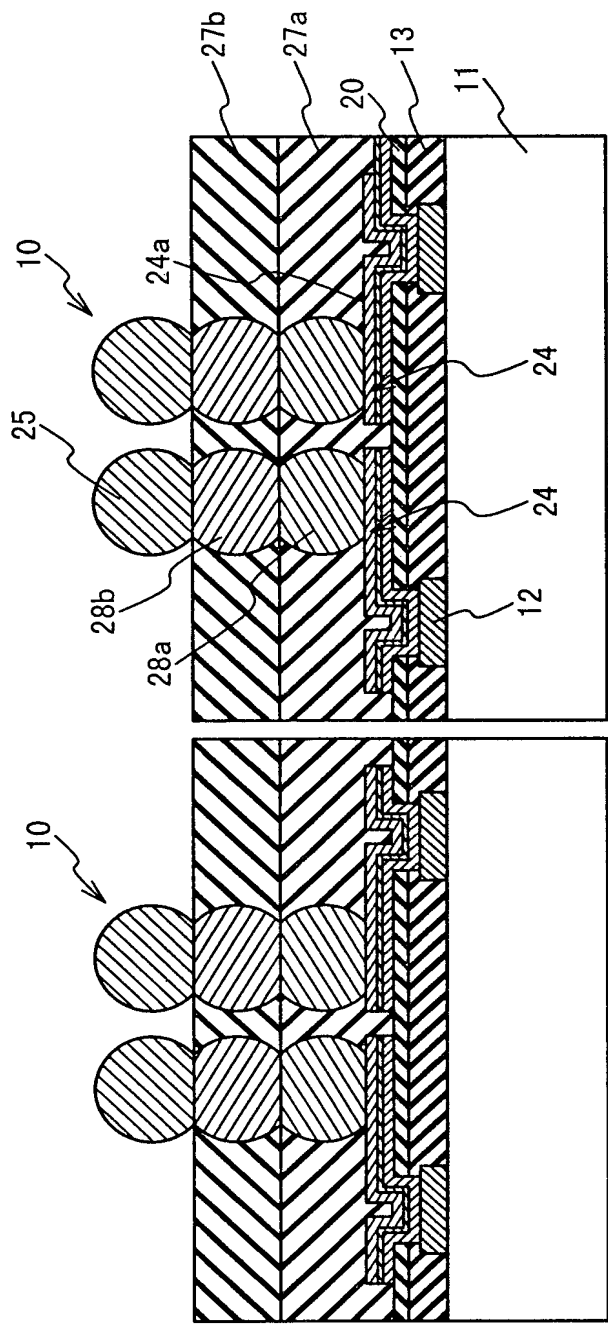


Fig. 4A

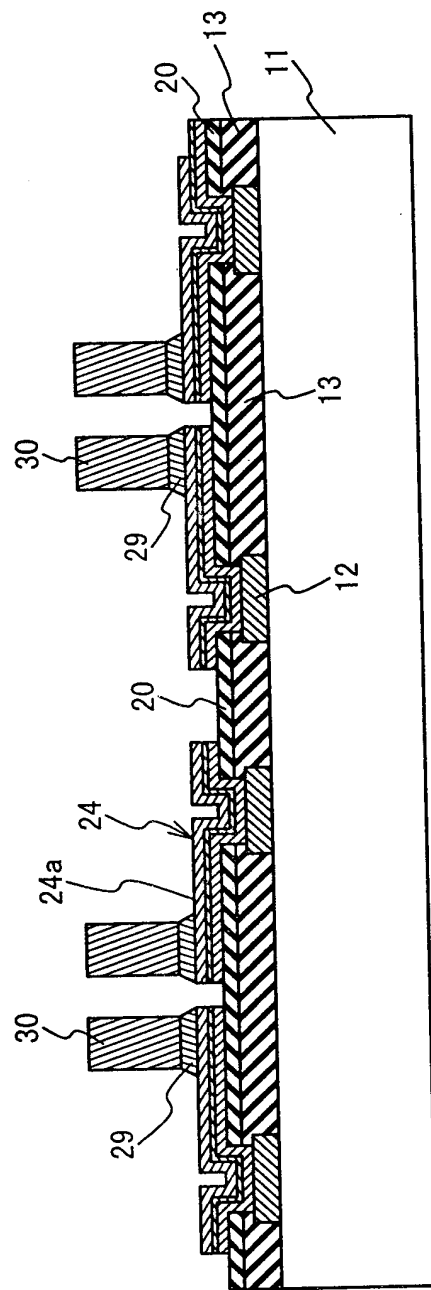


Fig. 4B

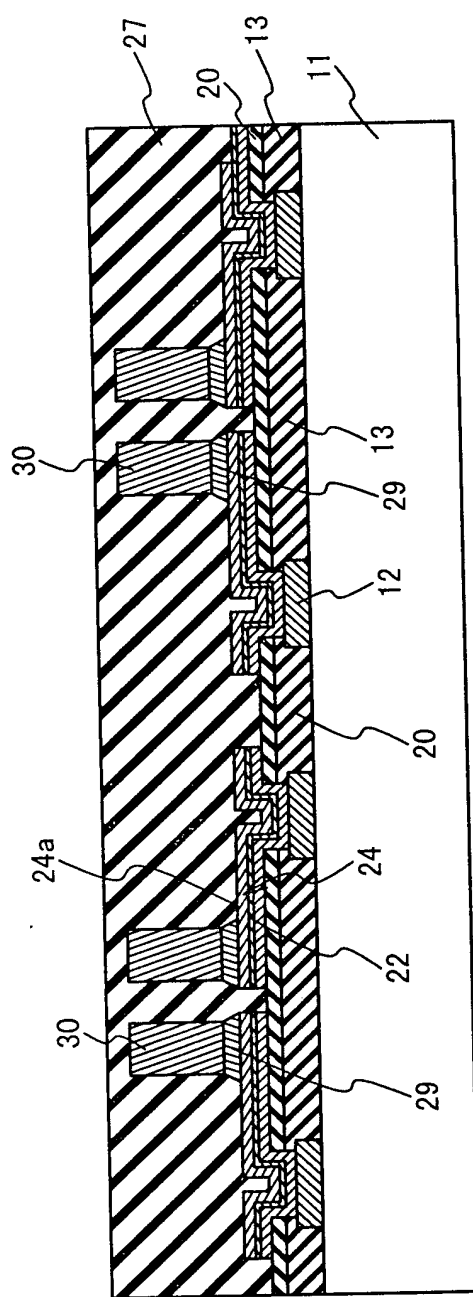


Fig. 4C

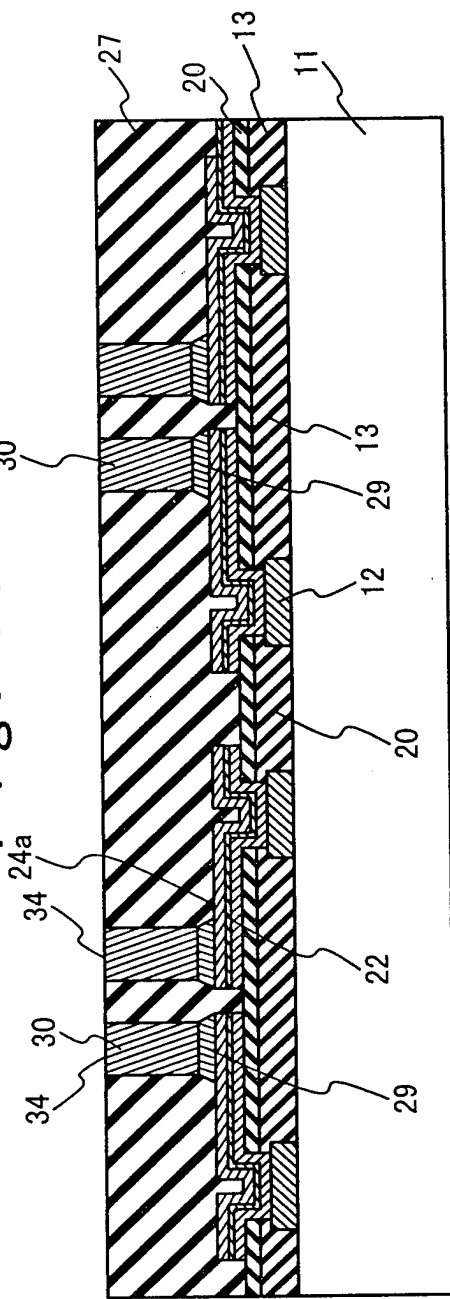


Fig. 4D

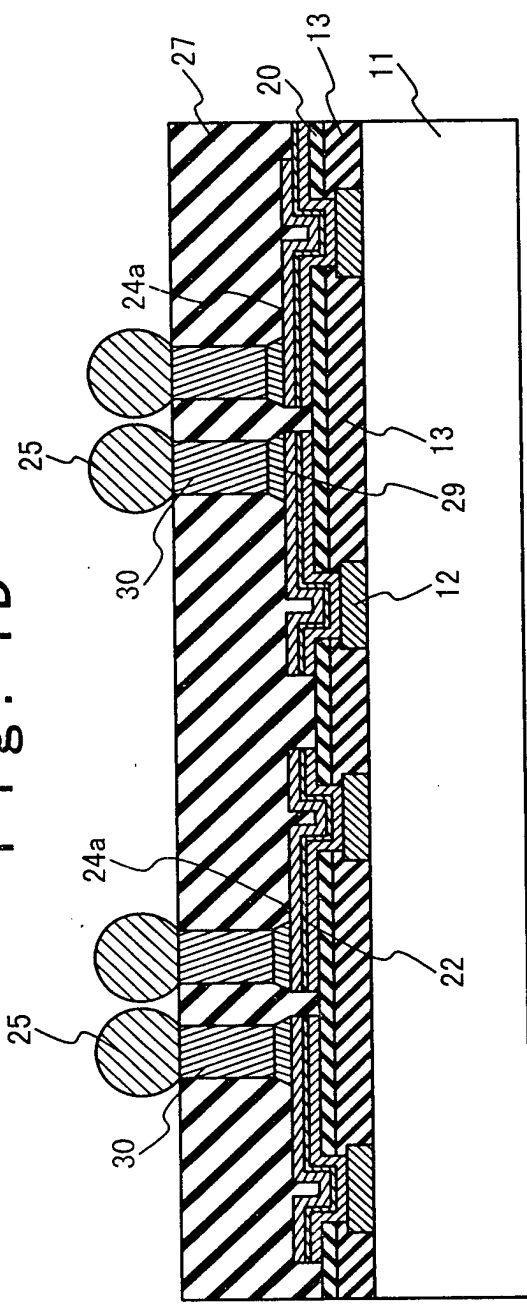


Fig. 4E

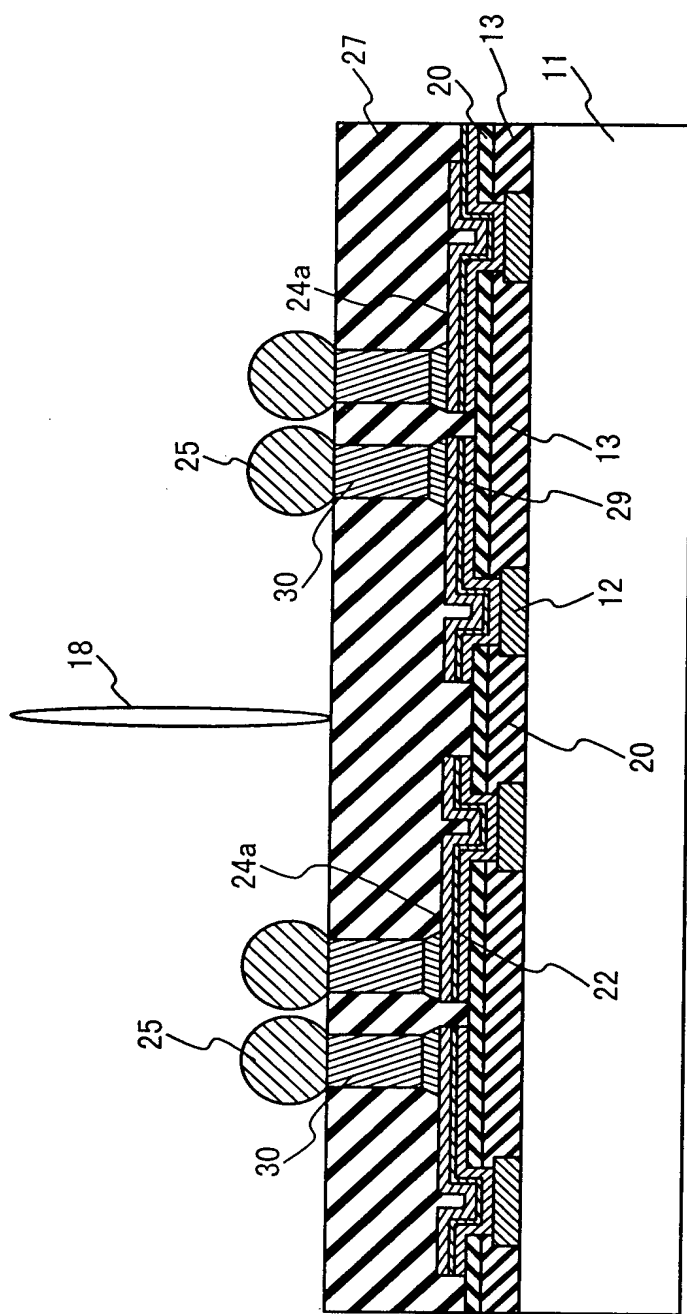


Fig. 4F

